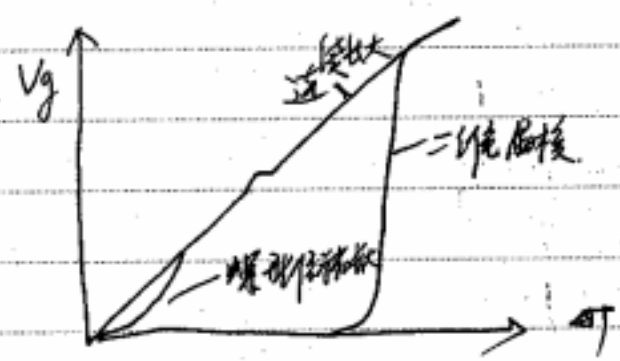


(木)

直线长，爆形传播长，一维临界速度  $v_g$  与 近零压  $\alpha$  之间关系。



波尔理论 认为核外电子是在确定的轨道上运动的，并有半径束缚。

波动力学 认为电子具有波粒二象性，电子有可能出现在核外的各个位置，只是出现在不同位置的概率不同。

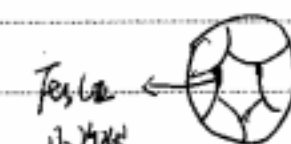
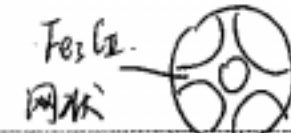
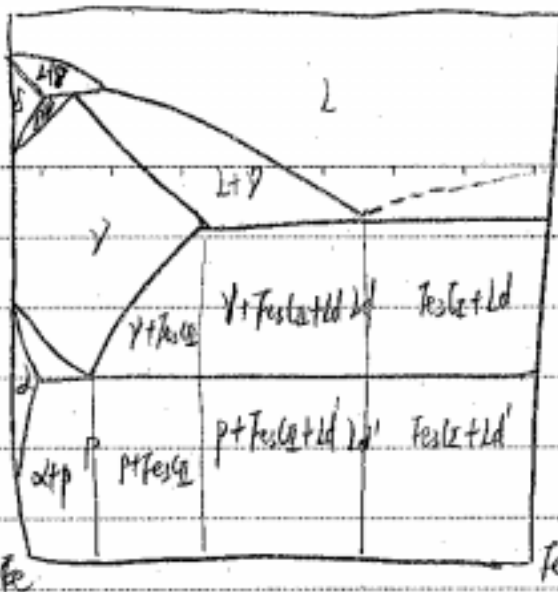
19世纪末提出的：晶体滑移的临界切应力计算值和实验值相差过大。

库勒提出了位错的局部滑移来解释晶体的塑性形变。

1934年提出的解决了滑移强度和实验值差别过大的问题。

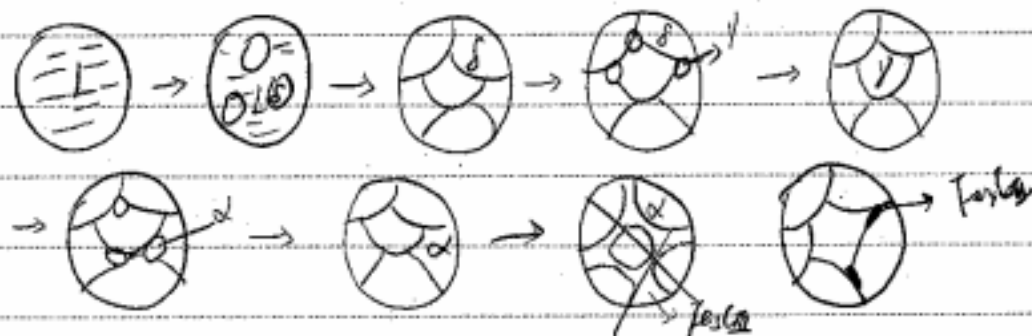
• 23 •

(三)



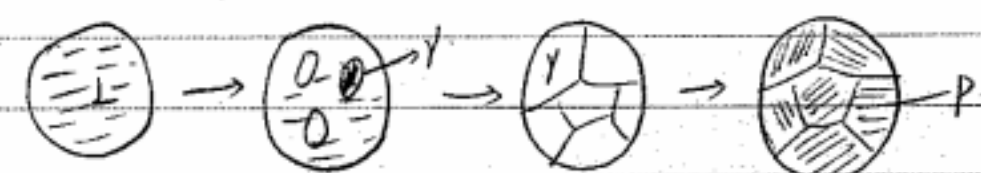
① 二元合金

C% ≤ 0.018%



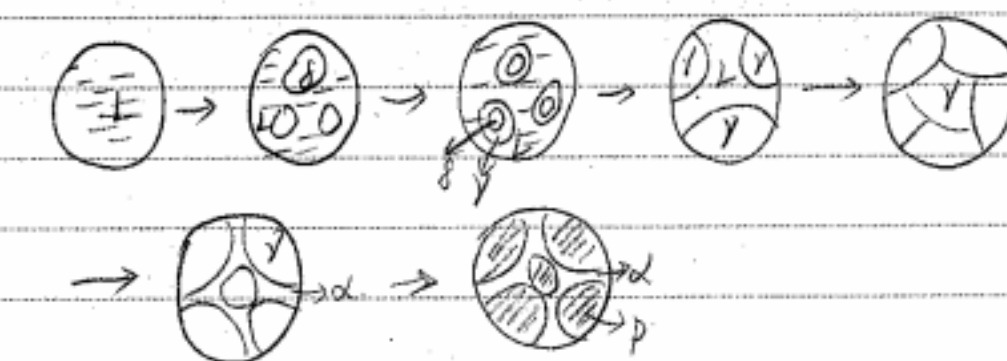
② 热分析

C% = 0.77%



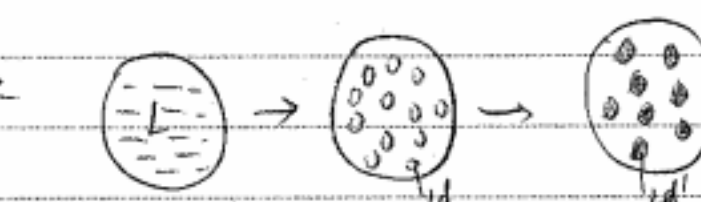
③ 亚共析钢

0.0218% / ~0.77%



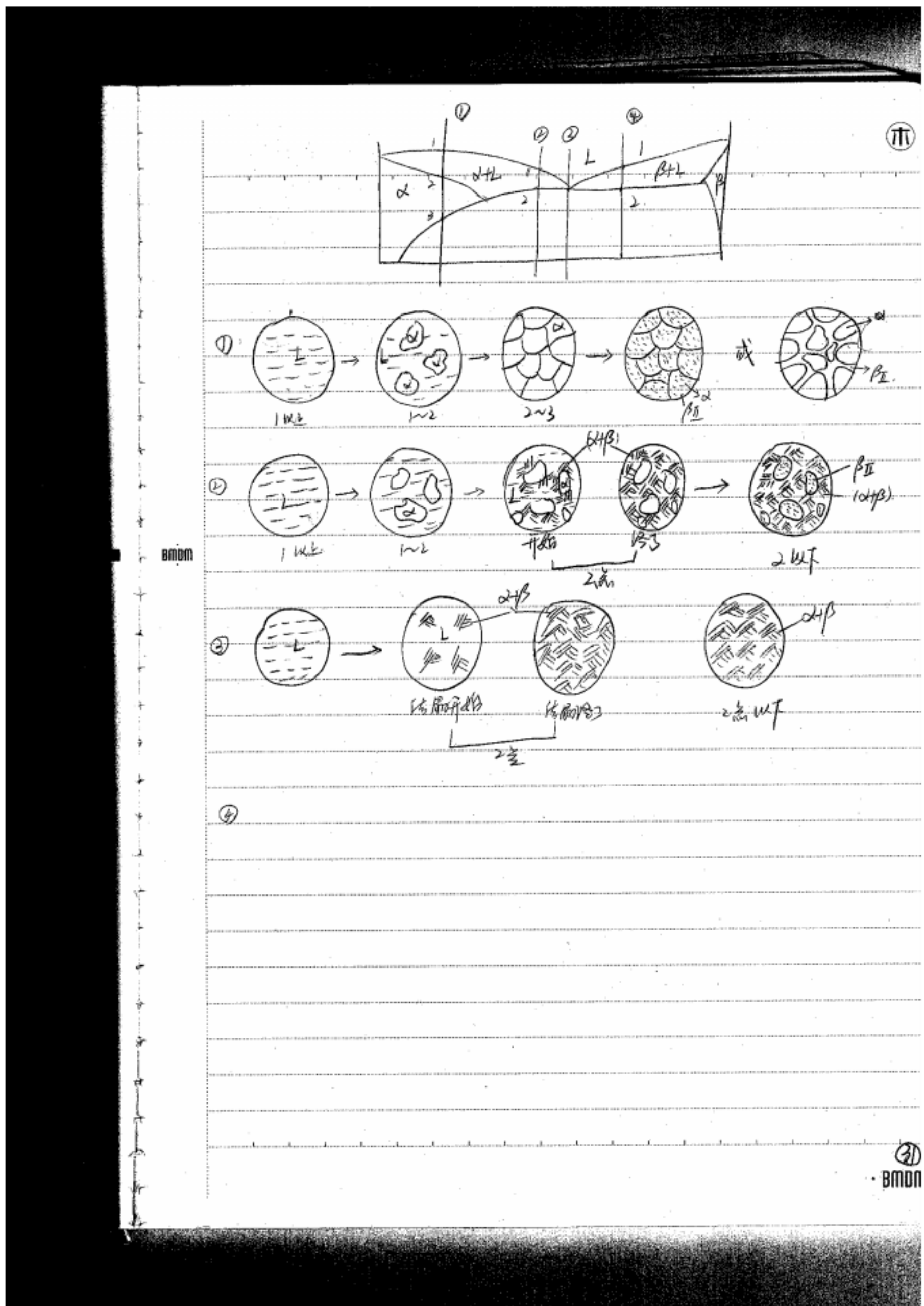
④ 共晶向D铸铁

4.3%



⑤ 过共晶白铸铁

• BMOM •

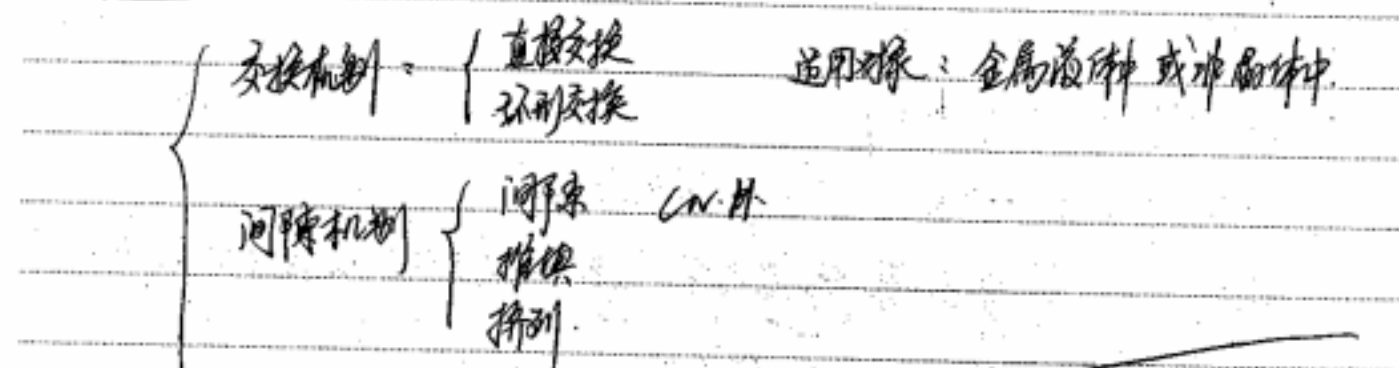


(中)

相能效应：由于原子扩散速率不同而造成的扩散抑制。

意义：支特定位扩散机制。

### 扩散机制



结合机制：

$$\text{扩散系数 } D = D_0 \exp\left(-\frac{Q}{RT}\right)$$

5. 互扩散

6. 应力作用

### 影响扩散的因素

1. 温度：影响扩散速率最主要因素，温度越高，原子热运动能量越大，越易发生迁移，扩散系数也越大。

2. 固溶体类型：C-N扩散速度在液态中时，间隙扩散速度比 Cr-Al 在液态时扩散速度小得多。

- 3. 固体结构：
  - a. 所有元素在液体中的扩散系数都比在固体中大。  
由于分子运动的扩散系数比固体小。
  - b. 结构不同，固溶体对扩散系数的影响不同，所造成浓度梯度不同，会影响扩散速率。
  - c. 晶体的各向异性对扩散有影响。晶粒越细，扩散各向异性越显著。

- 4. 表面缺陷：晶界、表面、位错等对扩散起着快速通道的作用，可以使扩散点阵畸变，处于较高能量状态，易于扩散，故其扩散速度远比晶内扩散速度大。

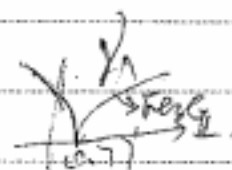
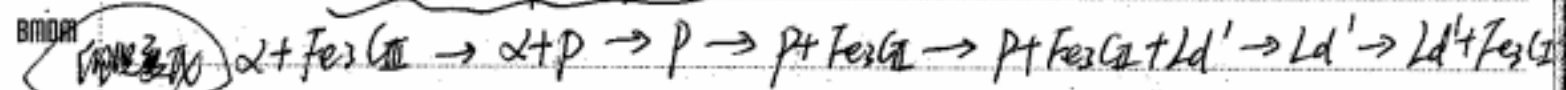
③  
BMM

丁 20

(1)

答：在碳合钢中，碳可以以不同的形式存在，例如，碳可以以单质的形式存在，也可以以化合物的形式存在。请问：(1) 碳在钢和铸铁中分别以何种形式存在。  
指出这些物质的物理性质。(2) 过程能力和处理是如何影响碳在钢和  
铸铁中的存在形式的。(3) 说明碳的不同形式是如何影响钢和铸铁的强度和  
塑性。

钢中碳常以石墨状态存在，根据碳在铸铁中存在形态和石墨形状不同，可分为  
两种：  
① 碳原子溶于  $\gamma$ -Fe 形成固溶体  $\rightarrow$  铁素体。  
    石墨：(绝大部分为球形)  
    碳原子溶于  $\gamma$ -Fe 形成固溶体  $\rightarrow$  奥氏体。  
    石墨：(部分为片状)  
    碳原子与铁原子形成复杂的化合物  $\rightarrow$   $Fe_3C$ 。  
    石墨：不呈独立相存在。



② Cr Ti W Mo V 钻 C

③ 组织影响：看①。随C含量增加。

力学性能影响：主要通过改善基体组织及更细的晶粒而增加相对量。

铁素体是软物相，渗碳体是硬脆相。

若合金基体是铁素体，则随含碳量↑，渗碳体↑。

合金强度提高。若  $Fe_3C$  分布于晶界或网状分布，则合金  
塑性韧性下降。当渗碳体成为基体时，合金硬而脆。

(29)

BMOD

(三)

A-B 二元合金系包含有哪几种相：

共晶转变：在  $1340^{\circ}\text{C}$  时，有  $L(50\% \text{B}) = \gamma(55\% \text{B}) + \beta(40\% \text{B})$

共析转变：在  $1180^{\circ}\text{C}$  时，有  $\beta(35\% \text{B}) = \alpha(28\% \text{B}) + \gamma(58\% \text{B})$

固溶 A：熔点  $1900^{\circ}\text{C}$ ，同素异构转变点为  $1800^{\circ}\text{C}$ 。

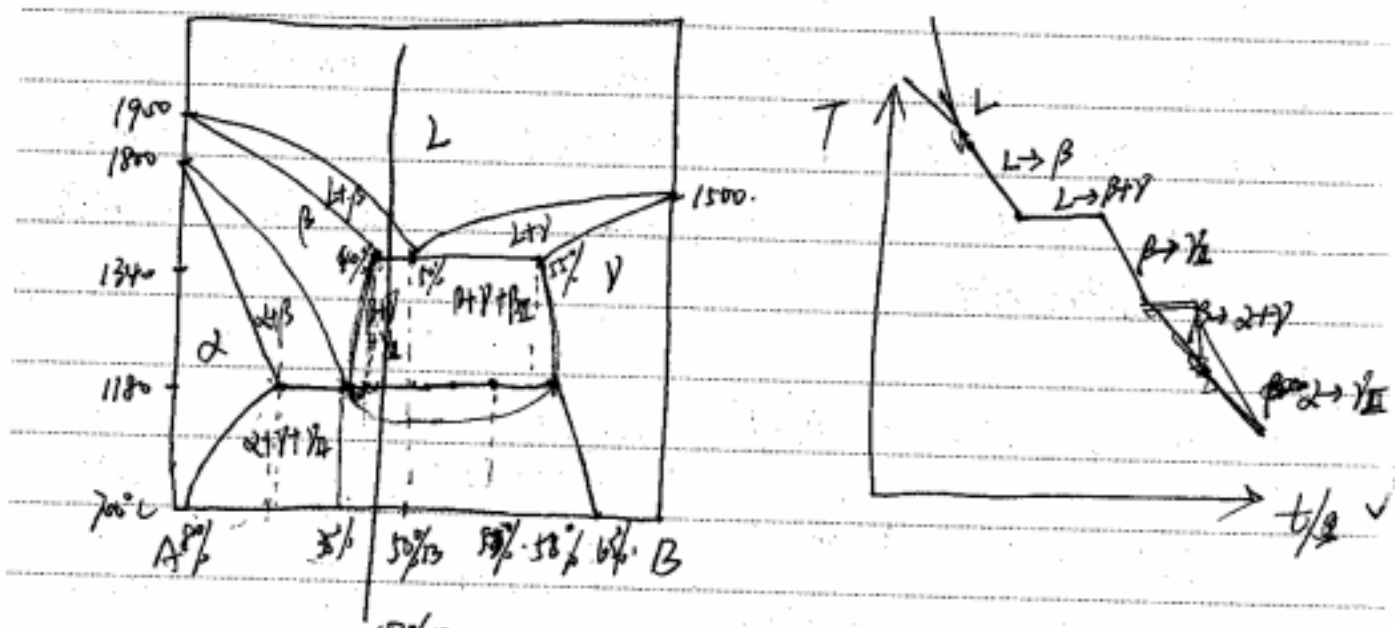
固溶 B：熔点  $1500^{\circ}\text{C}$ 。

$\gamma$  相 在  $700^{\circ}\text{C}$  时溶解度为  $8\% \text{B}$ 。 $\beta$  相在  $700^{\circ}\text{C}$  时溶解度为  $15\% \text{B}$ 。

求：① 试绘出 A-B 二元合金相图 ( $>700^{\circ}\text{C}$ )，并注明各相区。

② 求出  $47\% \text{B}$  合金的不平衡冷却曲线。

③ 计算  $47\% \text{B}$  合金在  $700^{\circ}\text{C}$  时平衡相组成物及相对量和相变过程物的相对量。



$$(\beta+\gamma) \text{ 质量} = \frac{47\%-40\%}{50\%-40\%} \times 100\%$$

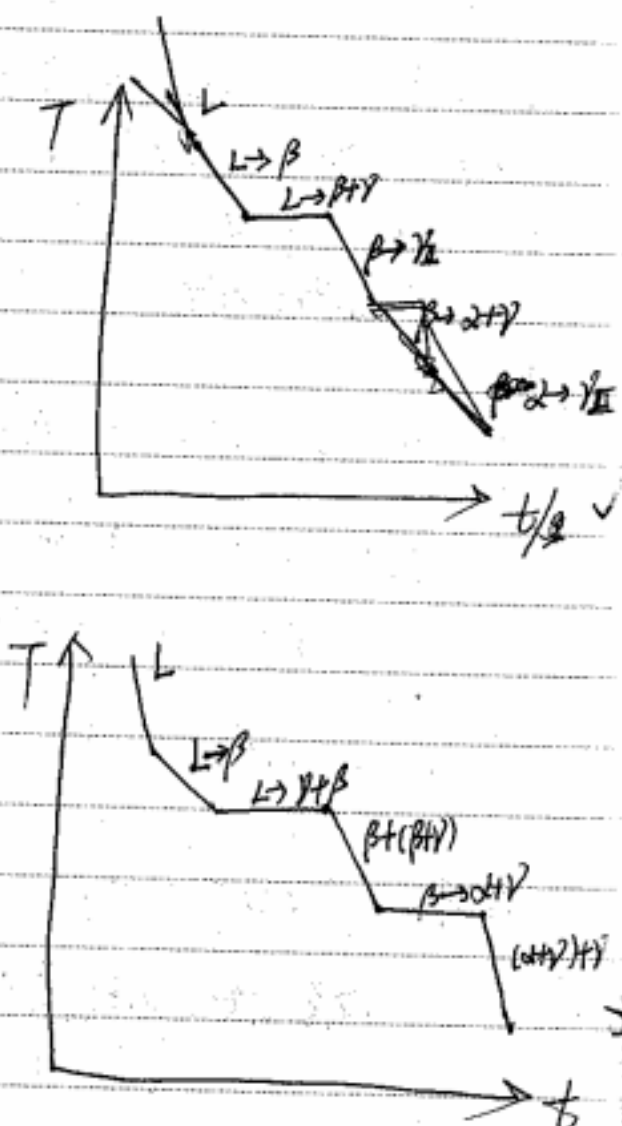
$$\nu_1 = \frac{50\%-47\%}{50\%-40\%} \times \frac{40\%-35\%}{58\%-35\%} \times 100\%$$

$$(\alpha+\gamma) \text{ 质量} = \frac{50\%-47\%}{50\%-40\%} - \nu_1$$

相后相对量： $\alpha+\gamma$ 。

$$W(\alpha) = \frac{65\%-47\%}{65\%-35\%}$$

$$\text{BMDM} \cdot W(\gamma) = \frac{47\%-8\%}{65\%-35\%}$$



(1)

① 已知 Cu-3% Sn 合金的再结晶激活能为 250 kJ/mol。此合金在 400°C 在恒温下  
完成再结晶需要 1 小时，试求此合金在 390°C 在恒温下完成再结晶需要多少时间？

解：再结晶速率  $V = A e^{-\frac{Q}{RT}}$  又  $\frac{1}{t} \sim V$

$$\text{由 } \frac{1}{t} = A' e^{-\frac{Q}{RT}}$$

$$\text{由 } \int \frac{1}{t_1} = A' e^{-\frac{Q}{RT_1}} \quad \text{由 } \frac{1}{t_2} = e^{-\frac{Q}{R}(\frac{1}{T_2} - \frac{1}{T_1})}$$

$$\begin{aligned} \text{把数据代入可得 } t_2 &= t_1 e^{\frac{Q}{R}(\frac{1}{T_1} - \frac{1}{T_2})} \\ &= 1 \times e^{\frac{250 \times 10^3}{8.314} (\frac{1}{390+273} - \frac{1}{400+273})} \\ &= 1.96 \text{ h.} \end{aligned}$$

② 铁可以在 870°C 渗碳也可以在 930°C 渗碳。要求：(1) 计算钢在 870°C 和 930°C 渗碳时，碳在钢 (Y) 中扩散系数  $D_{870} = 2.0 \times 10^{-5} \text{ m}^2 \text{s}^{-1}$ ,  $\alpha = 144 \times 10^3 \text{ J/mol}$ . (2) 在 870°C 渗碳需用多长时间才能获得 930°C 渗碳 10 小时后的厚度深度？

$$\text{解：由 } D = D_0 \exp(-\frac{Q}{RT})$$

$$\text{可得 } D_{870} = 2.0 \times 10^{-5} e^{(-\frac{144 \times 10^3}{8.314(870+273)})} = 5.2 \times 10^{-12} \text{ m}^2/\text{s}$$

$$D_{930} = 2.0 \times 10^{-5} e^{(-\frac{144 \times 10^3}{8.314(930+273)})} = 1.11 \times 10^{-11} \text{ m}^2/\text{s.}$$

$$\text{由 } X = A \sqrt{Dt} \quad \text{由 } D_{870} \cdot t = D_{930} \times 10 \quad t = 21.06 \text{ (h).}$$

漫游至湖。

$$\text{渗碳: } \rho(x,t) = \rho_s - (\rho_s - \rho_0) \operatorname{erf}\left(\frac{x}{2\sqrt{Dt}}\right) \quad \frac{C - C_s}{C_0 - C_s} = \operatorname{erf}\left(\frac{x}{2\sqrt{Dt}}\right)$$

漫游至湖  $\operatorname{erf}\left(\frac{x}{2\sqrt{Dt}}\right)$  是度值。

C, Cs, Co, γ 都相同。

$$\therefore \sqrt{D_8 t_1} = \sqrt{D_9 t_2}.$$

(27)  
• BMOM •

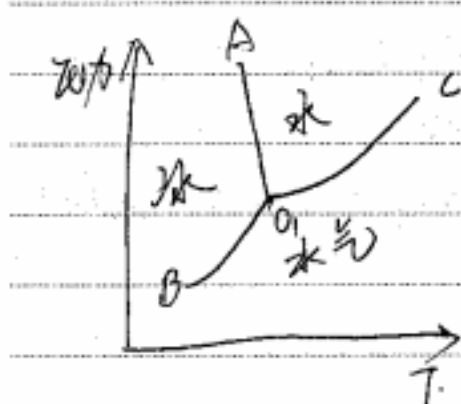
(中)

### 水水石二三相图

① 三相共存点表示什么?

② 三相图哪一方曲线为什么? (好像是冰水混合物形成)

③ 三相平衡表达式, 并指出两个物理意义?



① 三相平衡表达式

温度和压力都不能变动.

②

② 液相(水)和固相(冰)

在不变的压强下三相发生

相变的临界点的集合. 即三相共存

AO 成在水液固三相共存

为保持两相平衡 温度和

压力两个变量中只有一个独立变化

$$③ f = c - p + 2$$

$f$ : 纵系自由度数

c: 组元数

p: 相数

2: 温度压力两个外界条件

在水区、冰水区、冰区中只有一相存在.  $f=2$ . 表示在该区内温度和压力的变化不会引起

在 AO<sub>1</sub>, BO<sub>1</sub>, CO<sub>1</sub> 三相共存线上, 两相平衡.  $f=1$ . 表明: 为了保持两相平衡, 温度和

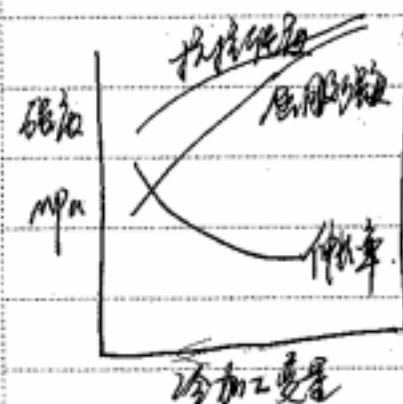
压力两个变量中只有一个独立变化, 另一个必须随温度作相应改变

O<sub>1</sub>点: 三相平衡点,  $f=0$ . 要保持共存, 温度和压强都不能变动.

(26)

• BMDM •

(二十一) - 2012 行程



(1) 消除应力和行程该图

(2) 若模里有各种直径的退火纯铜棒。

屈服强度为  $\sigma_s = 130 \text{ MPa}$ , 为了要获得  $\sigma_s = 250 \text{ MPa}$  以上, 伸长率  $15\% \text{ 以上}$ 在  $30 \text{ mm}$  直径的铜棒, 铸造后如何做?(1) 用多少直径的铜棒经过多少延伸量  
才能达到此要求)(3) 铸模直径  $20 \text{ mm}$  的铜棒经拉丝机加  $0.2 \text{ mm}$  直径的铜成, 又该如何做?

答: (1) 随着变形程度提高, 抗拉强度, 屈服强度不断提高, 伸长率下降。

$$(2) \pi \cdot (\frac{x}{2})^2 \cdot l = \pi \cdot (\frac{30}{2})^2 \cdot (1+15\%)l \Rightarrow x = 32 \text{ mm}.$$

$$\text{延伸量} = \frac{1.15 \times 30 - 32}{32} = 7.8\%$$

(3) ~~拔丝速度~~ ~~热加工~~~~热加工~~

在拉拔过程中,

~~再结晶退火~~ → 消除加工硬化

消除

从而不断消除冷变形产生的加工硬化

铜铜棒用孔铜模拔丝模通过数道冷拉才能达到最终的成品。  
每两道冷拉之间需要进行再结晶退火。

(木)

(十九) 若在液相中发生均相剥核，假设剥核为立方体

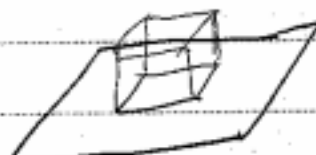
(1) 求临界剥核边长  $a^*$  和临界剥核功  $\Delta G^*$ 。

(2) 若发生的是非均相剥核，即剥核在两个相成后固液界面，界面面积为  $A$  ( $A > a^*$ ) 界面比表面能均为  $\gamma$ 。假设剥核仍为立方体，求临界剥核边长  $a_{\text{eff}}^*$  和临界剥核功  $\Delta G_{\text{eff}}^*$ ，并与(1)的结果进行比较。

$$\text{解: (1)} \quad \Delta G = \theta a^3 \Delta G_V + 6a^2 \sigma. \quad \text{①}$$

$$\frac{\partial \Delta G}{\partial a} = 0 \quad \Rightarrow \quad a^* = \frac{-4\sigma}{\Delta G_V} \quad \text{或} \quad \Delta G^* = \frac{32\sigma^3}{\Delta G_V^2}$$

(2).



由非均相剥核在两相成后固液界面，则表面积能取

$$\Delta G_S = 4a^2 \sigma$$

$$\text{解: } \Delta G = a^3 \Delta G_V + 4a^2 \sigma$$

$$G_1 = V_L G_L + A r$$

$$G_2 = [(V_L - V_S)G_L + V_S G_S] + [A(a^2 r + 5a)]$$

$$G_2 - G_1 = \Delta G = V_S \Delta G_V + 4a^2 r. \quad \Delta G_{\text{eff}}^* = \frac{256a^3}{27 \Delta G_V}$$

$$\Delta G_{\text{eff}}^* < \Delta G^* \quad a_{\text{eff}}^* < a^*$$

非均相剥核后临界剥核半径及临界剥核功都比均相剥核要小  
说明若底会促进剥核的形成

均相剥核:  $G_1(\text{均相前}) = G_L V_L$

非均相剥核:

$$G_2(\text{均相后}) = \theta (V_L - V_S)G_L + V_S G_S + A^* r \quad G_1(\text{均相后}) = G_L V_L + A^* r$$

$$G_2 - G_1 = V_S \Delta G_V + A^* r \\ = a^3 \Delta G_V + 6a^2 r$$

$$G_2(\text{均相后}) = [G_L(V_L - V_S) + G_S V_S]$$

$$+ [(A^* - a^2)r + 5a]$$

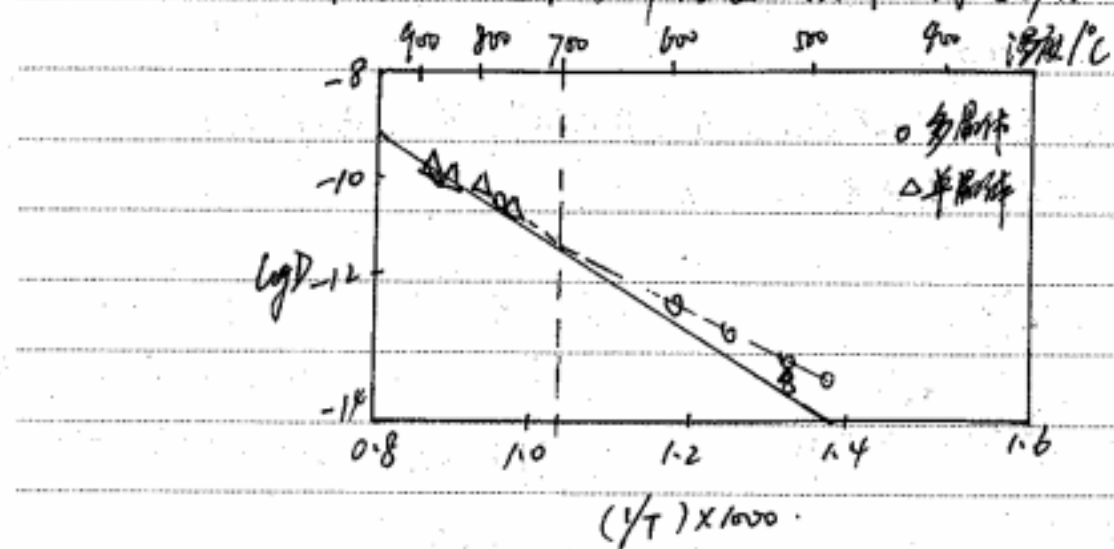
$$G_2 - G_1 = \Delta G_V \cdot a^3 + 4a^2 \gamma \cdot \text{BM01}$$

(三)

### (十八) 温度和晶体结构对金属扩散的影响

图中是实验测得的单晶银和多晶银的扩散系数随温度的变化。

请就此描述和分析温度、晶体结构对扩散的影响。



由图可知：随着温度升高，单晶体、多晶体的扩散系数D都增大。

当温度高于700°C时，多晶体与单晶体的扩散系数随温度

温度越高，原子热运动变化基本相同，但在低于700°C时，随着温度的升高越大，越易发生易降低。单晶体的扩散系数将明显小于多晶体扩散系数。

(晶体结构：晶体缺陷处有利于扩散) 故扩散系数随温度降低而减小。

单晶体的扩散系数表征了晶内扩散系数：

而多晶体扩散可沿两种不同路径：即晶界扩散，晶界扩散，扩散系数较小。

而晶内扩散 → 同扩散

附题：①说明置换原子和间隙原子分别采用哪种扩散机制，并简要解释。

②已知锌在铜中的扩散系数：在400°C时为 $1.4 \times 10^{-7} \text{ cm}^2/\text{s}$ ，在600°C时为 $8.0 \times 10^{-7} \text{ cm}^2/\text{s}$ 。试求锌在铜中扩散系数随温度Q<sub>d</sub>而如何变化。

置换型原子较大，难以通过间隙机制从一个间隙位置迁移至邻近的间隙位置。

因为扩散了很大的距离。

③

BMDM.

P230 230

均匀延伸率：极限强度与屈服强度的比值。  
最大力作用下的总伸长率

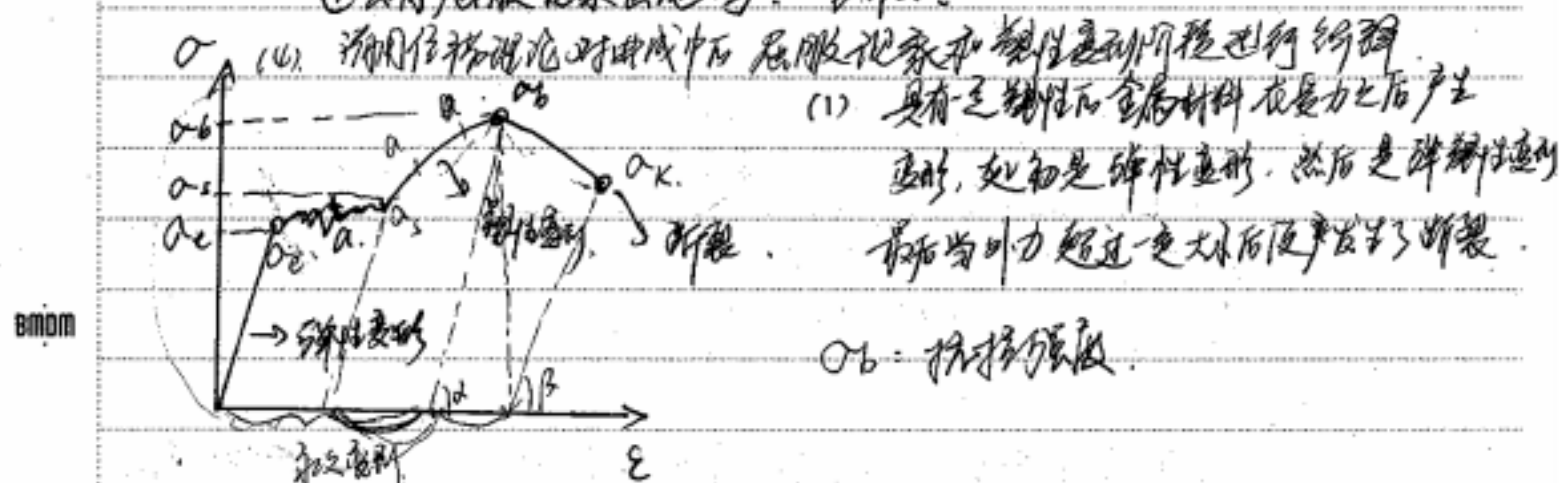
(1)

(1) 如图2，是低碳钢的拉伸应力应变曲线。

(1) 请描述该曲线，并指出金属在拉伸应力作用下不同变形阶段。

(2) 请描述用该图如何获得屈服强度、抗拉强度、均匀延伸率和断裂延伸率。

(3) 如果该金属被拉伸至其总应变载，马上再进行拉伸变形，还会有关节现象出现吗？为什么？



(2) 开始发生塑性变形的最小应力称为屈服强度  $\sigma_s$ 。

对于无明显屈服的材料，规定以产生0.2%残余变形的应力作为屈服强度。 $\sigma_{0.2}$

当应力达到时，试样地面变形结束，称为材料的抗拉强度。

它是材料极限承载能力的标志。

(3) 在应力作用下，滑移发生产生层片之间相对滑移，大量而层片滑动的累加构成了宏观的塑性变形。

(3) 不会，在第一次拉伸时，已产生了塑性变形，第二次拉伸时，应力

$P_{230} \text{ 钢化}$  由线应沿原卸载路线上升。

(4) 屈服后出现逆滑移，金属中常有微量的杂质元素，由于溶质原子与位错交互作用使滑移原子总是趋于集中到位错处以降低能量，形成了柯氏气团对位错“钉扎”，阻碍了位错的运动，而位错一旦挣脱气团的钉扎，便可在较小的应力下继续运动。]

(22)

(三)

(4.2)

### 由表讨论影响扩散的因素

溶质	溶剂	D	
		500°C	1000°C
① C	Fcc	$5 \times 10^{-15}$	$3 \times 10^{-11}$
② C	Bcc	$10^{-12}$	$2 \times 10^{-9}$
③ Fe	Fcc	$2 \times 10^{-23}$	$2 \times 10^{-16}$
④ Fe	Bcc	$10^{-20}$	$3 \times 10^{-14}$
⑤ Mn	Fcc	$10^{-23}$	$2 \times 10^{-16}$
⑥ Mn	Fcc	$3 \times 10^{-14}$	$10^{-16}$
⑦ Zn	Cu	$4 \times 10^{-18}$	$5 \times 10^{-13}$
⑧ Cu	Al	$4 \times 10^{-14}$	$10^{-10}$
⑨ Cu	Cu	$10^{-18}$	$2 \times 10^{-13}$
⑩ Ag	Ag (晶内)	$10^{-17}$	$10^{-12}$
⑪ Ag	Ag (晶界)	$10^{-11}$	

$$D = D_0 \exp\left(-\frac{\Delta E}{RT}\right) \quad Q \propto D^2$$

(1) 温度：由 500°C 和 1000°C 两组比较可知，T↑ 扩散速率快。

(2) ①② 和 ③④：Bcc 比 Fcc 扩散更快，因为 Fcc 晶格更密（键能大）。

(3) ①③ 或 ⑦⑨：间隙固溶体扩散更快。

(4) Ag：晶界比晶内扩散快，晶界的扩散能力⑩ > ⑪

(5) ②~⑪ 行比较，知 扩散主因：~~扩散途径~~ 扩散途径

⑦~⑨：虽然 Cu 在 Cu 中扩散快，反而扩散速率比 Cu 在 Al 中扩散速率大，由柯尔莫尔效应。

⑨~⑪：Cu 在 Al 中的扩散速率比 Cu 在 Cu 中的扩散速率快。

影响扩散的因素：① 温度：温度越高，原子热运动能量越大，越易发生迁移，扩散系数越大。

② 晶体结构：间隙 > 置换，半 bcc > fcc，缺隙外 > 缺隙内。

③ 化学成分：第三相相对二元合金扩散系数影响比较大，可使扩散系数降低。

④ 应力作用：应力越大，原子扩散的驱动力越大，原子扩散速度也越大。

(12)

对 Al 和  $\text{Al}_2\text{O}_3$ 

① 比较其性能差异 (强度、硬度、熔点、导电性方面)

② 说明差异产生原因

 $\text{Al}_2\text{O}_3$  硬度较高 [ 激烈摩擦产生固溶物 ]熔点较高  $\text{Al}_2\text{O}_3$  是正盐纯  $\text{Al}$  合金硬度是高硬度 $\text{Al}_2\text{O}_3$  合金硬度是高硬度

纯铝和合金都是金属键

 $\text{Al}_2\text{O}_3$  强度、硬度较高，是因为离子键运动很大。

弹性系数也较大

(金属为强键，原子将仅受到彼此之间的作用，但并不破坏键  
而具有良好的弹性)。 $\text{Al}_2\text{O}_3$  是良好的绝缘体，而  $\text{Al}$  是良好的导电导热性。

离子晶体中很难产生可以自由运动的电子，故都是良好的绝缘体。

(四)

(十四)

破綻拉伸試驗，原長為  $l_0$ ，變為  $l$ ，力為  $F$ 。

橫切面積為  $A$

① 求工程應力和工程應變

② 求真應力與真應變

$$\text{答: ① } \alpha = \frac{F}{A}, \quad \varepsilon = \frac{l - l_0}{l_0} \times 100\%$$

$$\text{② } \varepsilon_{\text{真}} = \int de = \ln \frac{l}{l_0}, \quad \alpha_{\text{真}} = \alpha (1 + \underline{\varepsilon_{\text{真}}}) \\ = \ln (1 + \varepsilon)$$

真應變：瞬時伸長量除以瞬時長度。

$$\text{即 } de = \frac{dl}{l} \text{ 而已知 } \int_{l_0}^l de = \int_{l_0}^l \frac{1}{l} dl$$

$$\Rightarrow \varepsilon_{\text{真}} = \ln \frac{l}{l_0} = \ln \frac{l}{l_0} \ln \left( \frac{l - l_0}{l_0} + 1 \right) = \ln (1 + \varepsilon)$$

$$\text{真應力 } S = \frac{F}{A}$$

$\downarrow$ : 瞬時應力

$F$  = 瞬時載荷

(19)

• BMOM •

(第17)

①

$$\leftarrow P_{130}$$

溶碳在1000°C时对奥氏体测及其距表面1mm处的溶碳浓度为1.1%，距表面2mm处的溶碳浓度为0.8%。已知扩散系数

$$D_0 = 2.0 \times 10^{-5}, \text{ 气体常数 } R = 8.314, \text{ 温度 } T = 1423 \text{ K}$$

求①. 1000°C时，C在奥氏体中的扩散系数

②. 估算碳进入液态城(1mm~2mm)的扩散通量。

$$\text{解: ① } D = D_0 \exp\left(\frac{-Q}{RT}\right) = 2.0 \times 10^{-5} \exp\left(\frac{-1423 \times 10^3}{8.314 \times 1423}\right)$$
$$= 2.98 \times 10^{-11} \text{ m}^2/\text{s}$$

$$\text{② } J = -D \frac{dc}{dx} = -2.98 \times 10^{-11} \frac{1.1\% - 0.8\%}{(1-2) \times 10^{-3}} = 8.94 \times 10^{-14} \text{ kg/m}^2\text{s}$$

[单位换算]

[记住单位] !

扩散系数  $D: \text{m}^2/\text{s}$

扩散通量  $J: \text{kg}/(\text{m}^2 \cdot \text{s})$

扩散浓度  $c: \text{kg}/\text{m}^3$

$\Delta: \text{J/mol}$

扩散系数  $D_0: \text{m}^2/\text{s}$

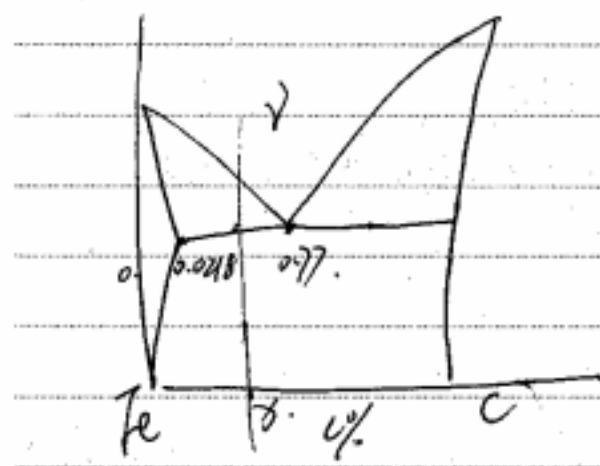
• BMOM •

(三)

4=7

某成分碳钢的含碳量无法确定，通过显微分析发现其中珠光体的含量为 20%，其余均为铁素体，求钢的含碳量？

设 x%



$$\frac{0.77-x}{0.77-0.0218} \times 100\% = 80\%$$

$$\Rightarrow x = 0.7144\%$$

~~$$x = 0.7144\%$$~~

$$\therefore \text{含碳量为 } 0.7144\%$$

(7)

BMDM

(一)

(十一) P231

已知均匀形核过程，问核可以形成正方形形核。

① 形核的驱动力和阻力。

② 球形形核的形核半径 和形核功。

③ 正方形核的形核半径和形核功。

④ 球形和正方形哪种更容易发生？原因。

⑤ 影响晶核大小的因素？并指出两种以上细化晶核的措施。

补⑥ 讨论  $\Delta G^*$  与临界晶核体积  $V^*$  之间的关系为  $\Delta G^* = -\frac{V^*}{2} \Delta G_V$ 答：① 驱动力：体系自由能降低。  $\Delta G_V < 0$ 。

阻力： 表面自由能的增加

$$\Delta G_V = \frac{4\pi}{3} r^3 \cdot \sigma_f$$

$$② \Delta G = \frac{4}{3} \pi r^3 \Delta G_V + 4\pi r^2 a \quad // \quad \frac{1}{3} A a = \frac{1}{3} \cdot 4\pi r^2 \cdot a$$

$$\frac{d\Delta G}{dr} = 0 \Rightarrow r^* = -\frac{2a}{\Delta G_V} \quad , \quad \Delta G^* = \frac{16\pi a^3}{3\Delta G_V^2} = \frac{16\pi a^3 T_m^2}{3Q m D}$$

$$③ \text{立方核: } \Delta G = a^3 \Delta G_V + 6a^2 a$$

$$\frac{\partial \Delta G}{\partial a} = 0 \Rightarrow a = -\frac{4a}{\Delta G_V} \quad , \quad \Delta G^* = \frac{32a^3}{\Delta G_V^2}$$

④ 圆形：临界晶核半径 和形核功较小。

⑤ 过冷度、形核率。 [看(一)]

$$⑥ \text{把 } V^* = \frac{4}{3} \pi r^*{}^3 \quad , \quad r^* = -\frac{2a}{\Delta G_V}$$

$$\text{代入 } \Delta G^* = \frac{16\pi a^3}{3\Delta G_V^2} \text{ 即可得之。}$$

· BMDM · (16)

(中)

(+) 1304 / 301

为什么成分过冷？ 液相侧析除无成分过冷。

有小成分过冷，有大成分过冷对侧析的影响。

成分过冷：在不平衡结晶时，界面附近液体中的实际温度低于由溶液分布所决定的凝固温度时产生的过冷，称为成分过冷。

无成分过冷时，固溶体晶体以平面界面方式生长。而成分过冷时平面界面在小成分过冷时，平面生长就被破坏，界面某些地方的凸起在进入过冷区后，由于过冷程度有增加，促进其凹向液体，但因成分过冷较小，凸起部分不够大而伸展，使界面呈胞状组织，其纵轴向的长轴，横轴为大轴，在大的成分过冷区，凸出部分就能继续伸入过冷液体中生长，同时在侧面产生分枝，形成二次轴，在二次轴上又长出三次轴时，这样就形成了树枝状组织。

$$\frac{a}{k} < \frac{m_{lo}}{D} \frac{k_{lo}}{k_0} \text{ 才会产生过冷}$$

a: 温度梯度. ✓

R: 凝固速度. ✓

m: 液相成核率.

k<sub>0</sub>: 平衡分系数.

C<sub>0</sub>: 合金成分.

D: 扩散系数.

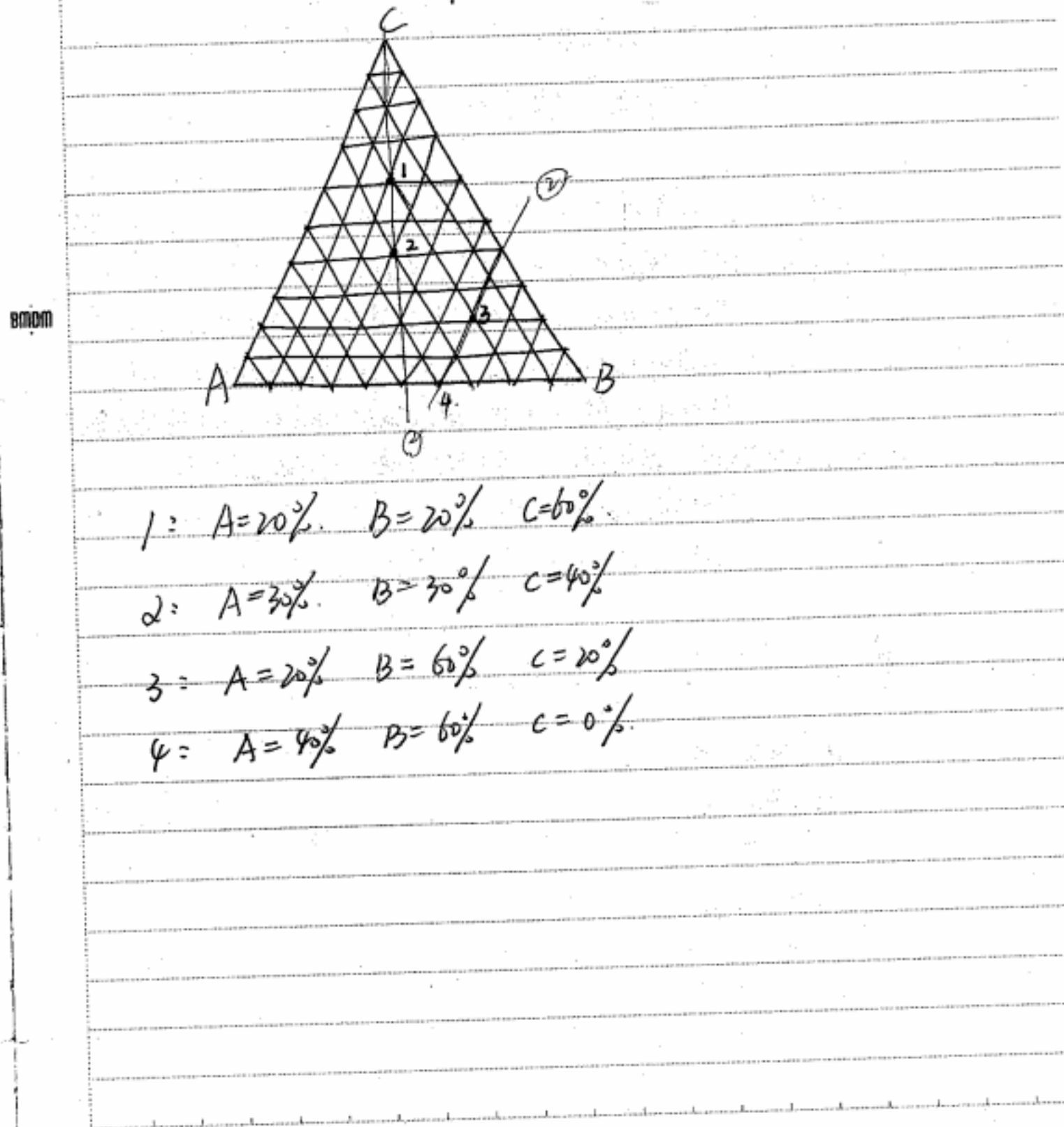
(15)

· BMOM ·

(九)

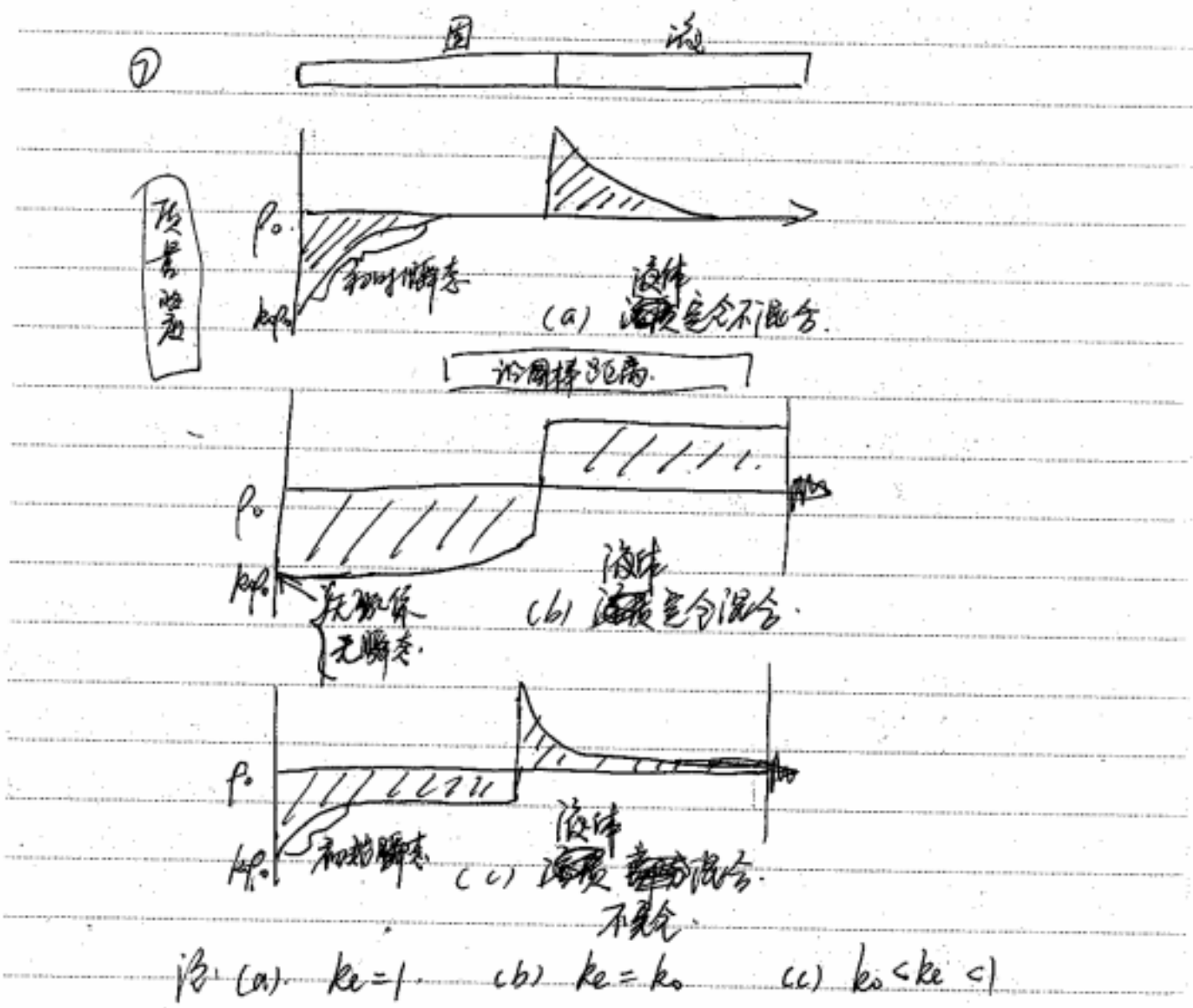
如图是 A-B-C 三相固中的成分三角形，A、B、C 分别为纯组元

- ① 算出图中 四点成分
- ② 标出 不锈性且 AB 含量之比为常数的合金成分线
- ③ 算出 B 含量为常数的合金成分线



(B)

$$\text{① 平均热阻系数 } k = \frac{2\pi B}{60\pi B} = 0.5.$$



$\beta$ : (a)  $k_e = 1$  (b)  $k_e = k_0$  (c)  $k_0 < k_e < 1$

说明：当传热速度极快时， $k_e = 1$ ，液体完全不混合状态。

当传热速度极其缓慢时，即  $k_e = k_0$ ，属于液体完全混流状态；液体

中的充分对流换热并不有效，从而导致液体部分混合。

当传热速度处于上述两者之间，即  $k_0 < k_e < 1$ ，属于液体部分混流状态。

(B)

• BMOM •

(八) 有A-B二元合金如图示相图。L为液相， $\alpha$ 为固相。B=40%。(未)

合金O的总重量为1000g。已知  $T_0 = 1000^\circ\text{C}$ ,  $T_1 = 800^\circ\text{C}$ ,  $T_2 = 700^\circ\text{C}$ .

$a_1 = 20\% \text{B}$ ,  $a_2 = 30\% \text{B}$ ,  $b_2 = 60\% \text{B}$ ,  $b_3 = 80\% \text{B}$ ,  $T_3 = 500^\circ\text{C}$

① 平衡凝固时合金O的开始和终了凝固温度是多少？

② 合金O在平衡冷却曲线与纯金属的曲线相比较有何差异。含意

③ 平衡冷却到  $T_2$  温度时，合金O处于什么状态？平衡相是什么？平衡相

④ 画出合金O在  $T_2$  平衡凝固时平衡相的成分—温度图。图

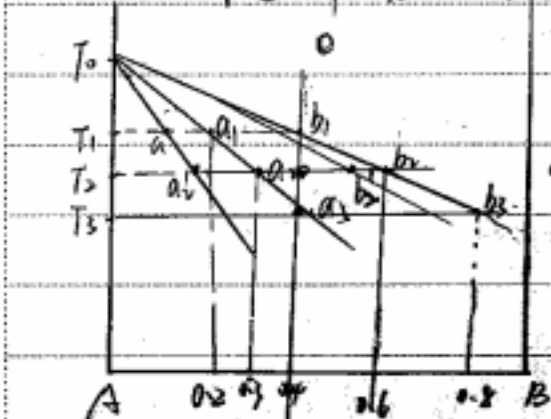
⑤ 若快速冷却至  $T_3$ ，合金O处于什么状态？组成相及成分。相图与平衡

⑥ 若合金O为平衡凝固，在凝固过程中固液界面保持平衡。

求平衡分固系数  $k_0$ 。

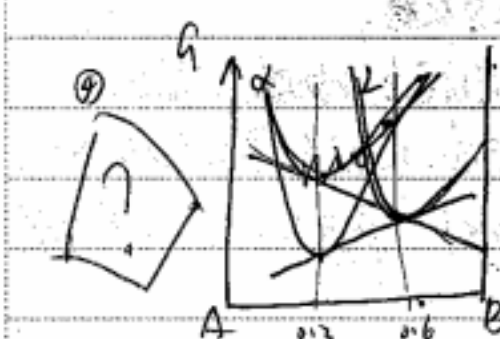
⑦ 若合金O为不平衡凝固，则凝固后的固相分布与凝固过程中液相状态是怎样的？通过图表示出它们的关系，并简要说明。

⑧ 若快速冷却至  $T_3$ ，请问合金O处于何状态？



⑨ 平衡凝固后固液混合状态。

⑩ (快速冷却) 平衡相  $L \rightarrow L+\alpha$ .



⑪ 固溶相  $L+\alpha$ . 固溶相成分  $A+B$

$$W_L = \frac{40-30}{60-30} \times 100\% = 33.3\%$$

$$W_\alpha = \frac{60-30}{60-30} \times 100\% = 66.7\%$$

⑫ (快速冷却) + 液相完全不混溶状态。

△ 固溶相:  $L+\alpha$ . (快速冷却) + 液相完全不混溶

· BMOM

(t)

P75 一个 70 MPa 外加应力作用在 fcc 单晶体的 [001] 方向上。

(1) 求该应力在 (111) [10\bar{1}] 滑移面上的切应力。

(2) 若该外加应力达到 100 MPa 时，晶体开始发生滑移变形。  
求临界剪切应力。

(3) 该晶体沿 [001] 方向的屈服强度

答：① 已知滑移系 (111) [10\bar{1}] 与 [001]

夹角是  $\phi = \arctan(\sqrt{3}) = 60^\circ$

$$\cos \phi = \frac{a_{11}b_1 + a_{21}b_2 + a_{31}b_3}{\sqrt{a_{11}^2 + a_{21}^2 + a_{31}^2} \sqrt{b_1^2 + b_2^2 + b_3^2}}$$

与外加力滑移方向 [10\bar{1}] 夹角的余弦：

$$\cos \lambda = \cos([001] \sim [10\bar{1}])$$

$$= \frac{1}{\sqrt{2}} \quad (\text{只考虑剪切应力，故取正号})$$

与外加力与滑移面法线的余弦：

$$\cos \varphi = \cos([001] \sim [111])$$

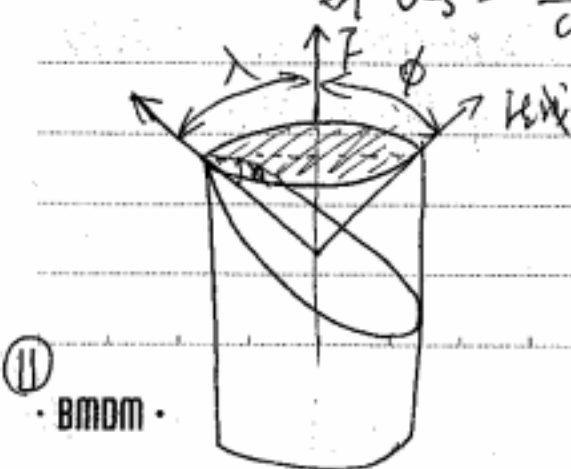
$$= \frac{1}{\sqrt{3}}$$

$$\text{由 } \tau = \sigma \cos \lambda \cos \varphi = 70 \times \frac{1}{\sqrt{2}} \times \frac{1}{\sqrt{3}} = 28.6 \text{ MPa.}$$

$$\text{② } \tau_c = 100 \times \frac{1}{\sqrt{2}} = 40.82 \text{ MPa}$$

$$\text{③ } \tau_c = \sigma_s \cos \phi \cos \lambda$$

$$\text{由 } \sigma_s = \frac{\tau_c}{\cos \phi \cos \lambda} = 100 \text{ MPa.}$$



$$\text{Pa} = \text{N/m}^2$$

$$\text{MPa} = 10^6 \text{ N/m}^2$$

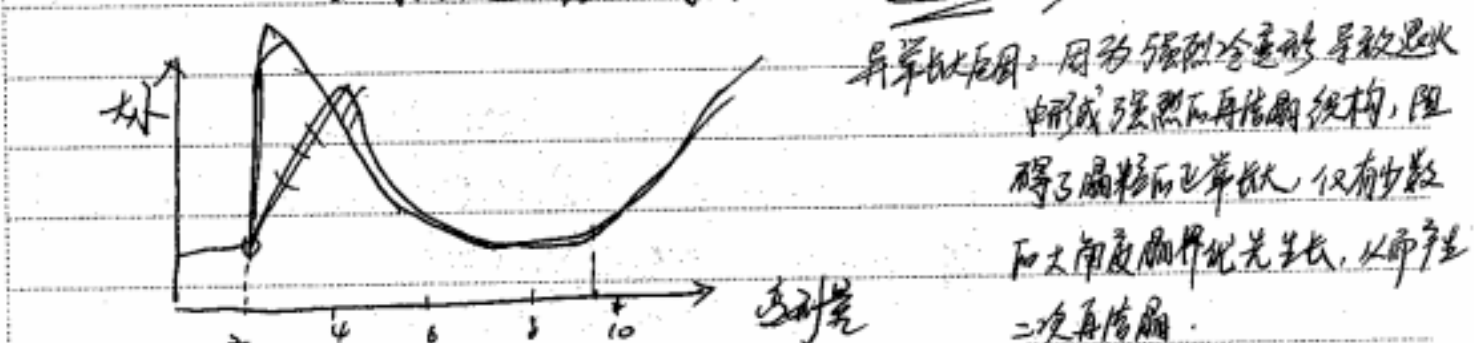
BMOM

(2).

P206 冷变形和退火温度都会影响再结晶颗粒大小，如图示。

说明试片的再结晶尺寸随冷变形而变化的实验结果。

- 分析原因：① 冷变形量对再结晶大小的影响  
 ② 批出钢中何处为临界变形量，何处为再结晶开始点。  
 ③ 批出退火温度对再结晶颗粒大小的影响。



- ① 当变形量很小时，晶粒尺寸即为原始尺寸，因为变形量过小，造成位错密度不足以驱动形核。  
 b. 当变形量达到一定值时，此时的畸变能足以引起形核，但由于塑性限制，位错很小，因此产生大而粗大的晶粒。c. 当变形量大于临界变形量后，驱动形核和储存能量不断增大，而形核率也大大加快，最终，因为再结晶后晶粒细化，且变形量越大，晶粒越细。
- ② 1. 临界变形量过大，d. 变形量超过一定限值后，晶粒异常大。  
 ③ 退火温度对刚完成再结晶时晶粒尺寸的影响比较弱，这是因为  
 a. 对  $M/A$  比值影响微弱，但提高退火温度可使再结晶速度显著  
 加快，临界变形量变小。若再结晶过程已完成，随后还有一个  
 晶粒长大阶段很明显，则温度越高晶粒越粗大。

→ 退火温度影响晶粒尺寸最弱因素，因晶界的迁移与原子的扩散有关。  
 丁1. 扩散系数  $D_f$ ，晶界越易迁移，即晶粒越易粗化。

(五)

空位是晶体中常见的一种缺陷。

① 空位属于哪种缺陷？

② 为什么说空位是一种热力学平衡缺陷？

③ 若将空温的铁加热到 800°C，然后快速淬冷至室温，则此时  
铁中的空位是增加了还是减少了，为什么？

④ 在③ 情况下，要使淬冷后铁中的空位数回到加热前  
可采用什么方法？

⑤ 如何在空温获得过饱和平衡浓度。

答：① 点缺陷。

② 在一定温度下，随着 T↑，系统贮能↑。另一方面，随着温度↑  
空位浓度↑，系统贮能能力↓。当增加后贮能和下降贮能  
相当时，系统达到平衡状态，故空位是一种热力学平衡缺陷。

③ 温度升高，使空位平衡浓度  $C_v = A \exp\left(-\frac{E}{kT}\right)$ ，由于淬火后  
多余的空位来不及扩散，使空温时的空位增加了。  
形成过饱和空位

④ 均匀化退火处理。将铸件加热到略低于固相线而温度下长时间保温。

⑤ 先加热至较高温度，再空冷淬火。（不许）然后缓慢冷却。

（高温淬火，空冷时效，高碳钢的强照效应）。

⑥ 一方面造成点阵畸变，使晶体内部膨胀开裂，降低了晶体的力学稳定性。  
一方面则增大了原子排列的混乱程度，并改变了其周围原子的振动频率。  
引起热膨胀和振动频率的改变，使晶体熵值增大，增加了晶体的能量。  
这两个相互矛盾的因素使晶体的点缺陷在空温下有一定的平衡浓度。

⑦ 冷变形加工。（高碳钢，高温淬火）。

高幅照效应

⑧

BMDM

(三)

$C$ : 优先数,  $P$ : 相数.

$$\text{③ 在液相中: } f = C - P + 1 = 2 - 2 + 1 = 1.$$

在  $\alpha$  处:  $f = \cancel{\infty}$

在  $1/2$  处:  $f = C - P + 1 = 2 - 2 + 1 = 1$ .  $L \rightarrow L + \alpha \rightarrow L + \alpha + \beta \rightarrow \alpha + \beta$ .

在  $2/3$  处:  $f = C - P + 1 = 2 - 2 + 1 = 1$  ~~在  $2/3$  处:  $f = C - P + 1 = 2 - 2 + 1 = 0$~~

$$\text{④} \quad W(\alpha\beta) = \frac{40 - 30}{60 - 30} = 33.3\%.$$

$$\left\{ \begin{array}{l} \text{⑤ 端壁扩散: } p_s = p_0 k_0 (1 - \frac{x}{L})^{k_0 t} \\ \text{⑥} \end{array} \right. \quad (p_s \text{ 固相质量浓度})$$

由方程可知, 芳晶体含量向另一端移动, 故增加了.

$$C_s = k_0 C_0 (1 - \frac{x}{L})^{k_0 t}, \quad k_0 = \frac{30}{60} = 0.5, \quad C_s = 30\%, \quad C_0 = 40\%.$$

$(1 - \frac{x}{L})$  为芳晶体所占相对量.

$$0.3 = 0.5 \times 0.4 (1 - \frac{x}{L})^{0.5 t} \Rightarrow 1 - \frac{x}{L} = 0.484\% \quad ; \text{ 增加了!}$$

[ $k_0$ ]: 不同固体, 固相质量浓度 / 液相质量浓度

• BMOM • ⑧

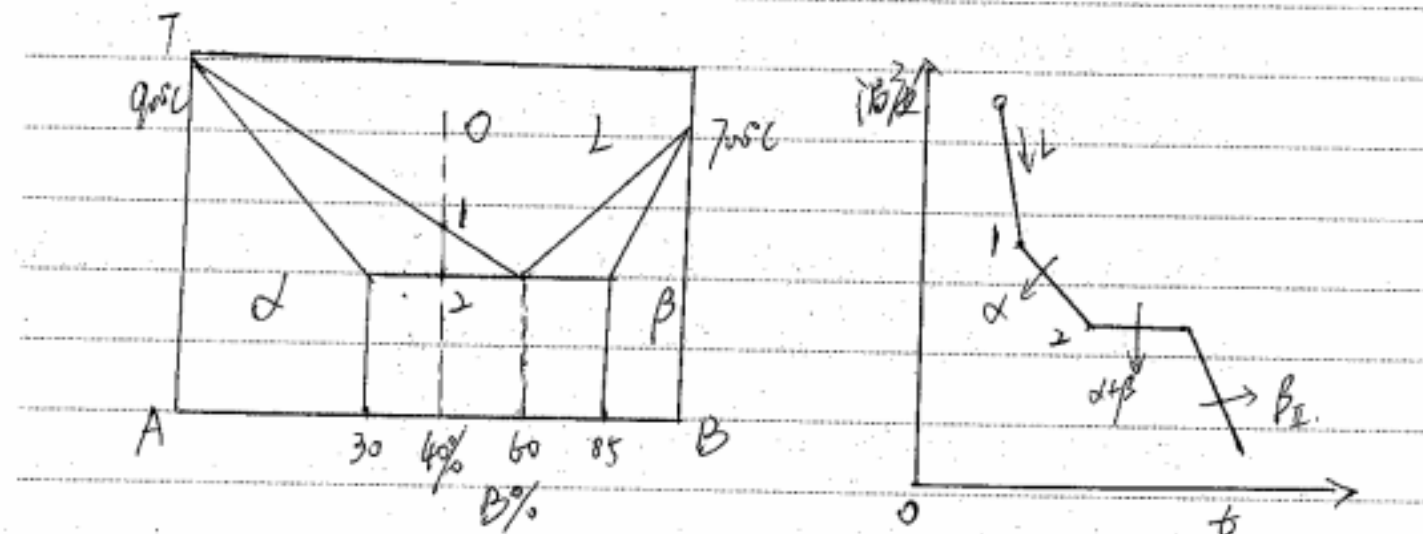
(四)

取出合金O与A的冷却曲线，区分固溶。

因为  $A-B$  = 元素的相图，合金含有 40% m B.

- ① 取出合金O在平衡凝固过程中可能发生的转变及反应。
- ② 取出合金O在平衡全部生成，并依此生成描述合金O的平衡凝固过程。
- ③ 利用相律来分析合金O在平衡冷却过程中平衡相的变化。
- ④ 计算平衡凝固后合金O中各相所占的相对量。  
P296. 若合金O以长流棒形式从一端开始凝固，凝固过程中固液界面保持平直，液相完全混合，则凝固后合金中的共晶体量较平衡凝固是增加了或减少了？
- ⑤ 若以④的方式凝固，计算凝固后合金中共晶体所占的相对量。

而 P34



答 ①  $L \rightarrow \alpha$ ;  $L \rightarrow (\alpha + \beta)$ ;  $\alpha \rightleftharpoons \beta$ .

② 当合金缓慢冷却至温度  $t_1$  时，初生  $\alpha$  相以匀晶转变方式不断从液相析出。随着温度下降， $\alpha$  相成分沿固相线变化，液相成分沿相线变化。 $\alpha$  相↑·液相↓；当降至如温度  $t_2$  时，剩余液相发生共晶转变，生成  $(\alpha+\beta)$  共晶组织。此处为恒温转变。共晶转变结束后，在  $t_2$  温度以下， $\alpha$  相从共晶组织中析出。 $\beta$  相从  $\alpha$  相中析出。  
(若可忽略)

① BMDM.

1. 钢体的塑性变形是帮助位错在应力作用下运动和不断增殖的。(1)

### (三) 钢水是由铁和碳元素组成的

- ① 钢是纯金属还是合金?
- ② 铁和碳是用液体还是化合物,若是固溶体,说明是什么?
- ③ 钢在高温是单相还是多相。
- ④ 钢的强度硬度高于纯铁和石墨。说明原因?
- ⑤ 要使钢的强度硬度进一步提高,可采取怎样的措施?写出3种以上并简要说明。

答: ① 铁和碳是固溶体, 碳是化合物。

③ 多相 (铁单体、奥氏体、渗碳体)。

④ 铁和碳是纯晶体结构, 单相组织, 钢中碳与其它元素的加入产生固溶强化和弥散强化及复强化, 硬度提高。

用滑片或薄片消除而导热而散热。

⑤ 加工硬化: 位错通过互相缠结使运动阻力上升, 产生加工硬化。

淬火处理: 形成弥散的碳化物沉淀。

细晶强化: 晶粒越细, 强度硬度越高。

### (4) 为了提高金属强度, 可采取措施?

① 固溶强化: 由于其中的溶质原子和溶剂金属原子大小不同, 溶剂晶格发生畸变, 并在周围造成一个弹性应力场。此应力与运动位错的应力场发生交互作用, 增加位错运动的阻力, 使金属的滑移变形变得困难, 从而提高了金属的强度和硬度。

② 细晶强化: 晶界能有效阻碍位错运动, 晶粒越细, 晶界越多, 强化效果越强。

③ 时效强化: 材料通过某种分布的有细小弥散的第一相杂质而产生强化。

④ 位错强化: 运动位错之间发生交互作用而使晶体运动受限, 所造成的强化量与金属中位错密度的平方根成正比。

⑤ 加工硬化: 位错密度高, 强度硬度高, 塑性韧性很快下降。

用塑性变形使位错增殖, 位错密度增加, 位错通过运动和交互作用相互缠结。

(9)

⑨. 由 A1 变成 A2，即对 A1 模型中抽出 C 层，取一个单位面积的计算。

$$⑩. \rho = \frac{nAr}{a^3 NA}$$

①. 体心立方胞中 C 的摩尔度为 0.0218%

$$1 \text{ 个胞胞的总质量 } M_{\text{总}} = \frac{2 \times 55.85}{[1 - 0.0218\%] \cdot NA}$$

$$\text{其中含 } C \text{ 为 } n_C = \frac{0.8 M_{\text{总}} \times 0.0218\%}{12.01} \cdot NA$$

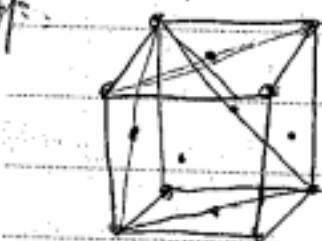
1 个胞胞中可溶  $Al + Cr_2$

假设 3 个胞胞中可溶 1 个  $Cr_2$

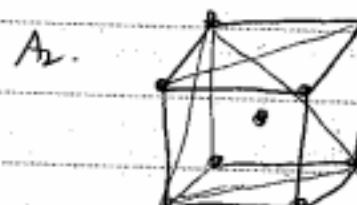
$$⑪. x = \frac{12.01}{2 \times 55.85 \times 0.0218\%} \quad \left| \begin{array}{l} \gamma Fe \cdot 21\% \\ 2.49 \text{ 个} \\ \text{即 } 3 \text{ 个} \end{array} \right.$$

$$= 493.1$$

解法：

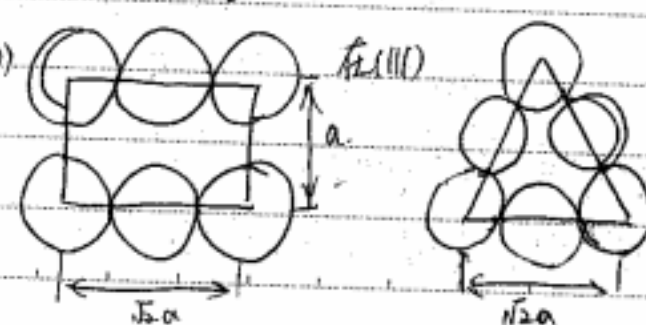


A1

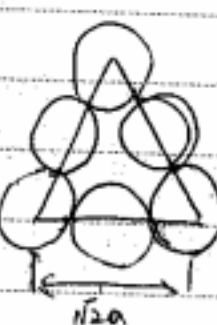


A2

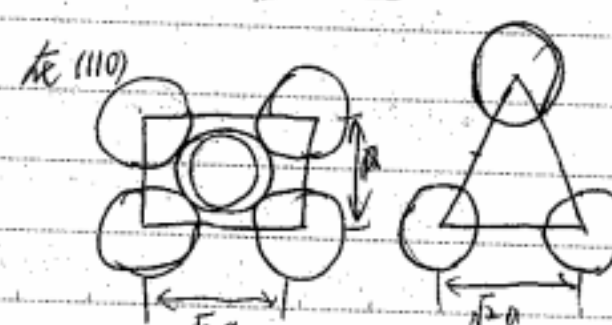
在 (110)



在 (111)



在 (110)



⑫. BIMOM.

体心立方晶格：金属原子位于立方晶胞的八个角上和立方体的中心，点阵常数为 $a$ 。每个晶胞  
占据两个原子，质量为 $\rho_A$ ，密度为 $\rho_B$ 。

面心立方晶格：金属原子位于立方晶胞的八个角上和六个面的中心，点阵常数为 $a$ 。每个晶胞占据  
四个原子，质量为 $\rho_A$ ，密度为 $\rho_B$ 。

④ 碳原子一般进入六方密堆积层；被包围的半径为 $r_{\text{C}}$ 。  
长轴变，点阵常数变， $\rho_A$ 变， $\rho_B$ 变。

插入层间空隙、点阵常数

⑤  $\rho_F/\rho_M = \frac{nAr}{a^3NA}$  (相对量不变)

$$\frac{V_F}{V_B} = \frac{\rho_B}{\rho_F} = \frac{nB}{nF} \cdot \frac{a_F^3}{a_B^3} = \frac{2}{4} \cdot \frac{(\frac{r}{2})^3}{(\frac{r}{3})^3} = 0.918 \Rightarrow V_F < V_B$$

变化量： $\frac{V_F - V_B}{V_F} = 9\%$

⑥ 银在高温下发生弹性变形后，其微观变化为晶粒和亚结构变化。  
晶粒被拉长，形成纤维组织；亚结构细化，缺陷数目大大提高。  
另外，弹性模量也↑。性能变化包括力学性能和物理性能。  
力学性能为强度、硬度↑，塑性韧性↓，物理性质为电阻率↑。

⑦ 在~~温度~~发生回复、再结晶、晶粒长大。晶粒不变，保持纤维状。

在~~回复时~~，发生完位数目↓，在高温回复时，位错开始运动。

产生多边化，晶体的成键能力↓，电阻率↓，内应力降低。

在再结晶时，金属形成新的无序度更高的晶粒，金属内部位错

数目大大↓，强度硬度↓，塑性，材料各个物理性能恢复到变形前。

再结晶时，新晶粒互相接触而长大，找到一个在该条件下稳定的尺寸，电阻率下降缓慢。

⑧ 而面心立方晶格中 $\{111\}$ 晶面和各种 $\{100\}$ 晶面上原子排列情况

完全相同，为了获得最紧密的堆积，第二层面对第一层原子  
应恰好在第一层堆积面上（A层）每许原子之间的空隙上。

以 $ABAB\dots$ 或 $ACAC\dots$ 的顺序堆积构成面心立方晶格。

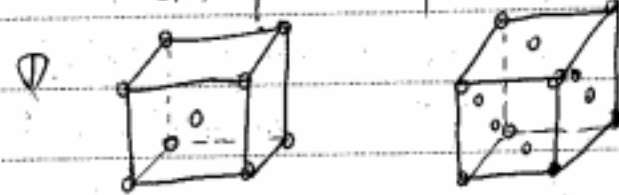
以 $ABCABC\dots$ 或 $ABABAB\dots$ 的顺序堆积构成面心立方晶格。

BMOM. ④

(三)

- ⇒ 钢铁有两种结构，分别为主体  $\alpha$ -Fe 和面心立方  $\gamma$ -Fe。  
铁的原子半径为  $0.127\text{mm}$ 。
- (1) 分别画出一个体心立方和面心立方晶胞。（并指出两种结构的简单描述）。
  - (2) 体心和面心相比哪个更致密，分别求出其密度。
  - (3) 强调体心和面心立方中原子排列最致密的侧面的面积，并指出。
  - (4) 原子半径为  $0.127\text{nm}$ ，请问  $C$  原子能进入铁晶格后什么位置？  
当  $C$  原子进入铁的结构会发生怎样的变化？
  - (5) 一块铁从面心变为体心后其体积变膨胀还是缩小了？变化多少？
  - (6) 在极慢速下加热变形后，其密度和性能会如何变化？  
（原因分析）
  - (7) 将(6)中块慢慢从室温加热至  $910^\circ\text{C}$  时，该过程会有什么变化？  
（原因分析）
  - (8) 详细描述两种  $\alpha$  与  $\gamma$  的原子堆积差异？
  - (9) 如何以示意图表示？
  - (10) 体心立方铁的空隙率求出密度。
  - (11) 多少个体心立方晶胞才能容纳一个碳原子？

(12) 问：请画出  $\alpha$ -Fe 这两种结构在  $(110)$  和  $(111)$  面上的原子排列。



【宏观观察】每个晶粒内部出现

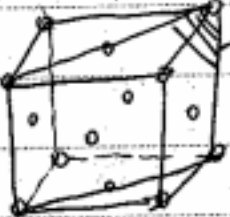
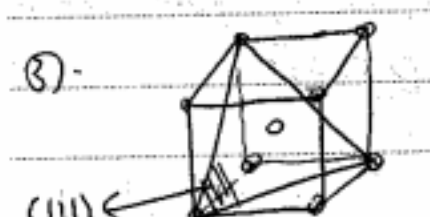
大量孪晶带或滑移带。

② 面心立方  $k_{面} = \frac{4 \times \frac{4}{3}\pi (\frac{\sqrt{2}}{4}a)^3}{a^3} = 0.74$  随变形量增加，原来面心立方晶粒将逐渐沿  
直到延伸，当延伸量很大时形成纤维组织。

$$k_{体} = \frac{2 \times \frac{4}{3}\pi (\frac{\sqrt{3}}{4}a)^3}{a^3} = 0.68$$

【亚结构】位错密度迅速提高

并随位错密度，在变形量加大时，  
形成胞状亚结构。



【微观变化】力学性能：强度硬度提高

塑性韧性降低。物理性能：

电阻率增高。化学性能：化学活性增大

腐蚀速度加快。

③ BIMOM.

III

→

P184 ① Bink Hall-patch 公式, 公式的意义:

② 200 平均晶粒直径为 1mm 和 0.0625mm 的  $\alpha\text{-Fe}$  的屈服强度

分别为 112.7 MPa 和 196 MPa. 同时  $\alpha\text{-Fe}$  晶粒直径为 0.0196mm 的  $\alpha\text{-Fe}$  的屈服强度:

③ 为了获得细小的晶粒, 可以采取哪些措施? 请写出两种以上措施, 并用金属学理论进行解释.

$$\text{答: } \text{① } \sigma_s = \sigma_0 + kd^{-\frac{1}{2}}$$

↓                    ↓                              d: 晶粒平均直径  
 多晶体的屈服强度      局部对拉伸的阻力      k: (温度) 对变形的影响系数

公式的意义: 多晶体的强度随晶粒细化而提高. [在晶粒间]

< 晶界上应降降应力且晶界两侧晶粒取向不同, 位错难以产生滑移  
晶界数量直接影响了晶粒大小 >

$$\text{② } A: \text{提高变速率, 使其变大. } \quad \left\{ \begin{array}{l} 112.7 = \sigma_0 + k(1)^{-\frac{1}{2}} \\ 196 = \sigma_0 + k(0.0625)^{-\frac{1}{2}} \end{array} \right. \quad \text{①}$$

$$B: \quad ② - ① \Rightarrow 3k = 196 - 112.7 = 83.3$$

$$\therefore k = 27.77, \sigma_0 = 85$$

$$\text{把 } d = 0.0196 \text{ mm} \text{ 代入: } \sigma_s = 85 + 27.77(0.0196)^{-\frac{1}{2}} \\ = 283.4 \text{ MPa.}$$

P204 ③ 获得细小晶粒的措施:

金属学理论 1. 加大过冷度: 随过冷度增大, 划核率比长大速率增加更为剧烈.

2. 原料处理: 加入能促进非均匀形核的杂质.

3. 机械振动: 减少枝晶, 提供新核. } 振动使枝晶破碎.

4. 超声处理: 电磁场处理, 表面熔化.

• BMOM ②

(三)

### e. 超结构 (有序固溶体)

P56 金属间化合物的性质和应用:

① 超导性:  $Nb_3Ge$ ,  $Nb_3Al$ ,  $Nb_3Sn$ ,  $V_3Si$ ,  $NbN$  等.

② 特殊电学性质:  $InTe-PbSe$ ,  $GaAs-PbSe$ .

③ 强磁性: 稀土元素 (Ce La Sm Pr. Y 等) 和 Co 的化合物 (永磁材料)

④ 像素材料:  $LaNi_5$ ,  $TcTi$ ,  $R_2Mg_{17}$  等.

⑤ 耐热性:  $Ni_3Al$ ,  $NaAl$ ,  $TiAl$ ,  $Ti_3Al$ ,  $FeAl$ ,  $Fe_3Al$  等.

⑥ 耐蚀: 某些金属石墨化物、硼化物、氮化物和氟化物等.

⑦ 形状记忆性、超弹性、谐振性:  $TiNi$ ,  $CuZn$ ,  $CuSi$  等.

例:  $LaB_6$  具有金属间化合物所具有的热电子发射性.

$ZrO_2$  具有良好的中子吸收性.

① 随着 N 和 C 的增加, 金属性质逐渐增加, 但 N 的增长率大于 C 的增长率.

\*  $d = \text{半径} \cdot (\frac{C}{N})^{\frac{1}{3}}$ , 可知, 使晶粒细化.

② 加入耐候剂后, 可以促使过冷液体发生部分分离, 即不但使  
部分晶核的基底增多, 而且使临界晶核半径减小, 也都使晶粒细化.

③ 搅拌, 一方面提供了晶核所需要的能量, 另一方面可以使正在生长的  
晶体破裂, 可增加更多的晶核核心, 从而使晶粒细化.